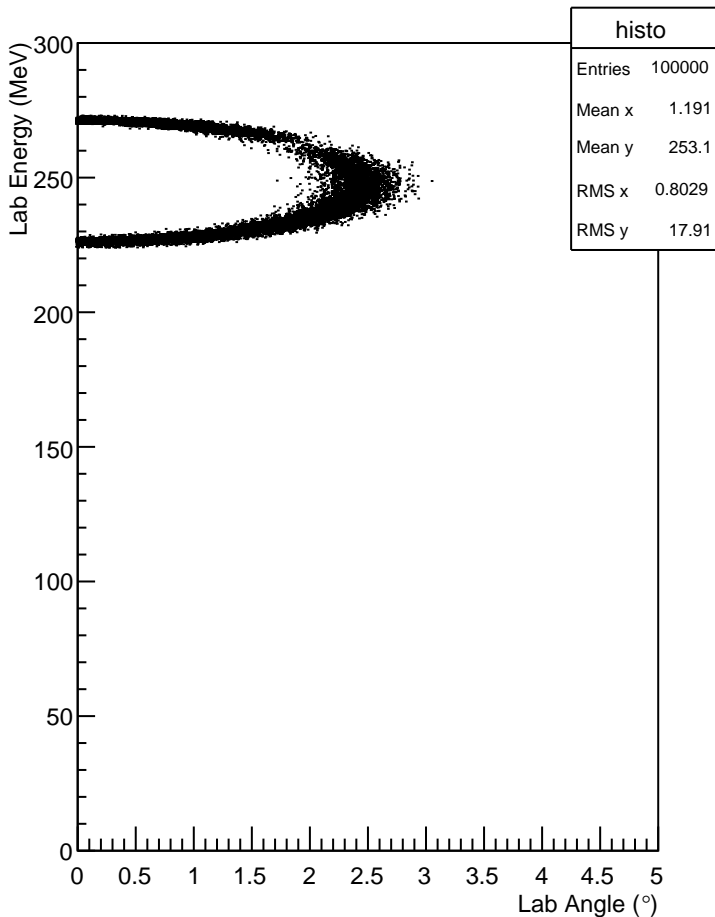
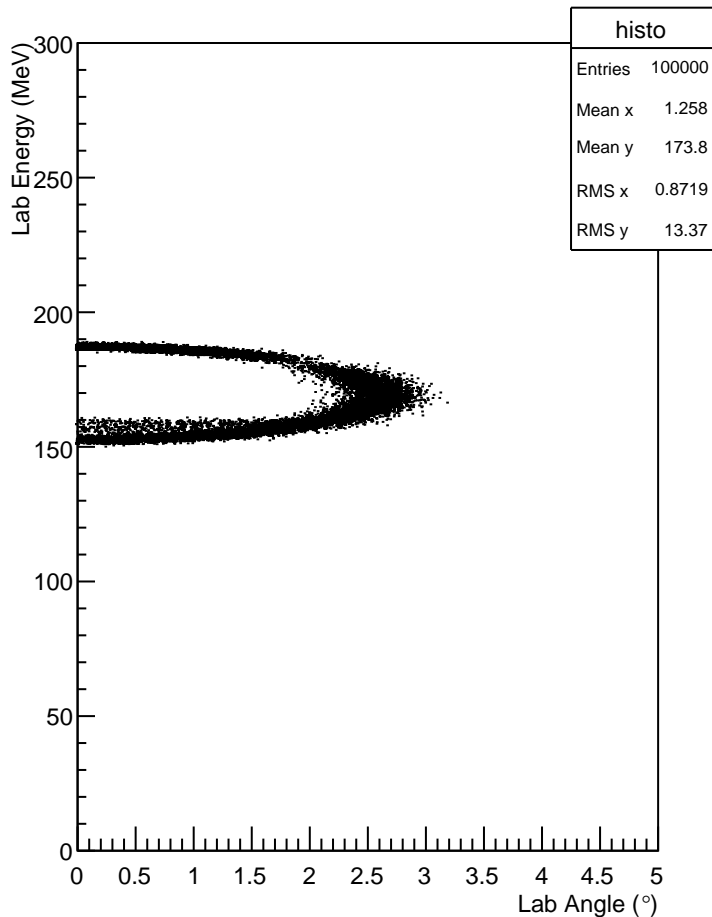
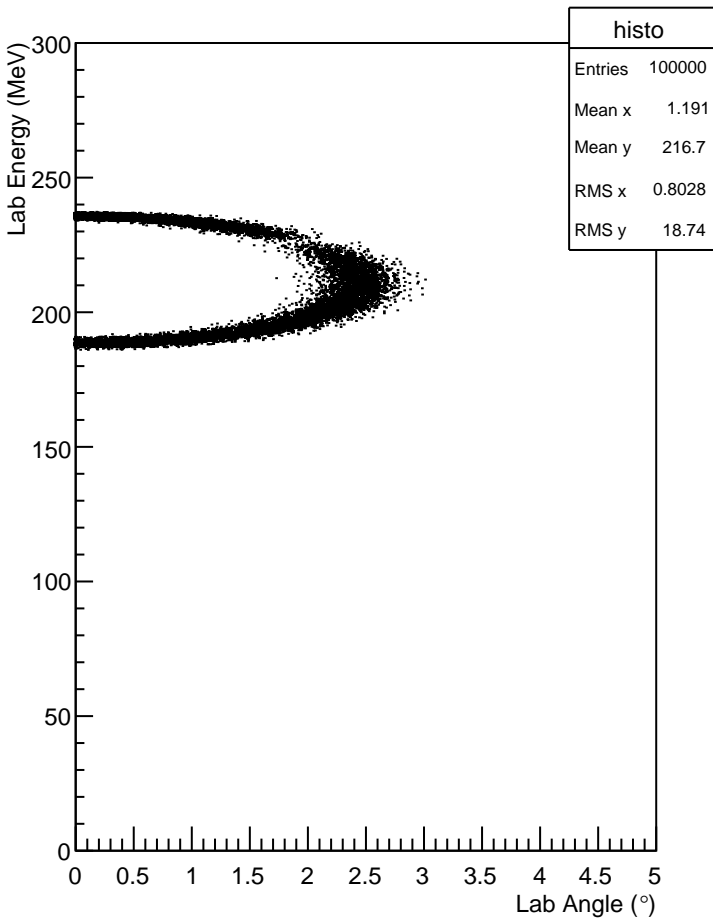
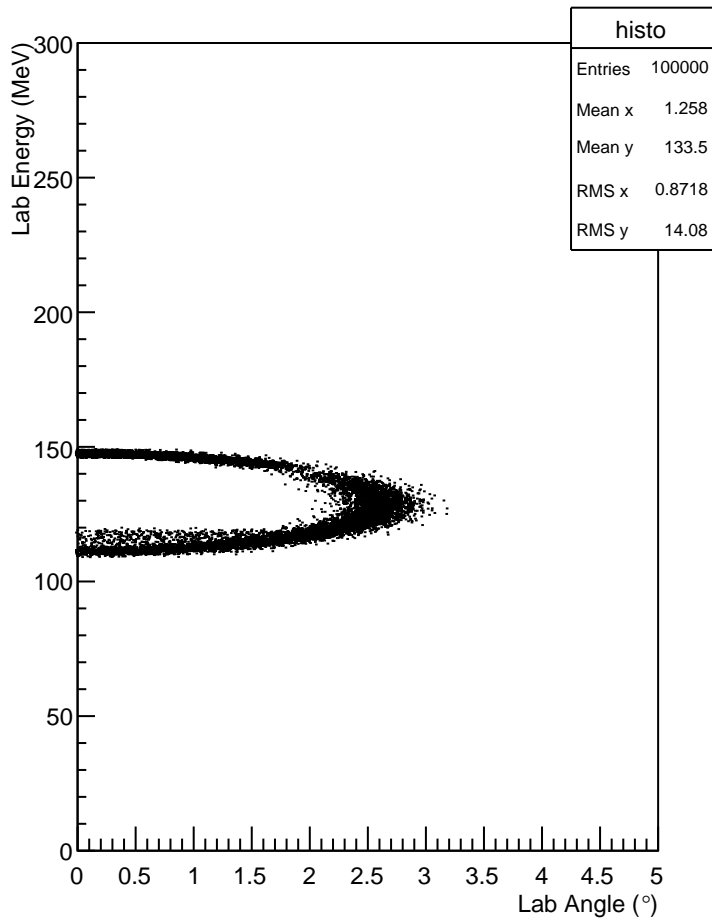
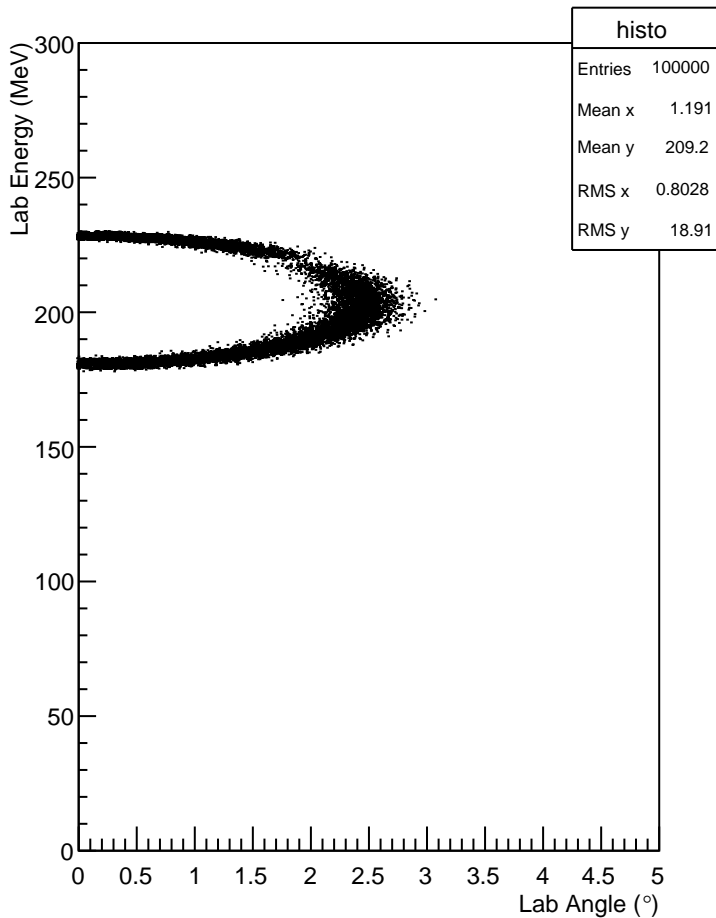
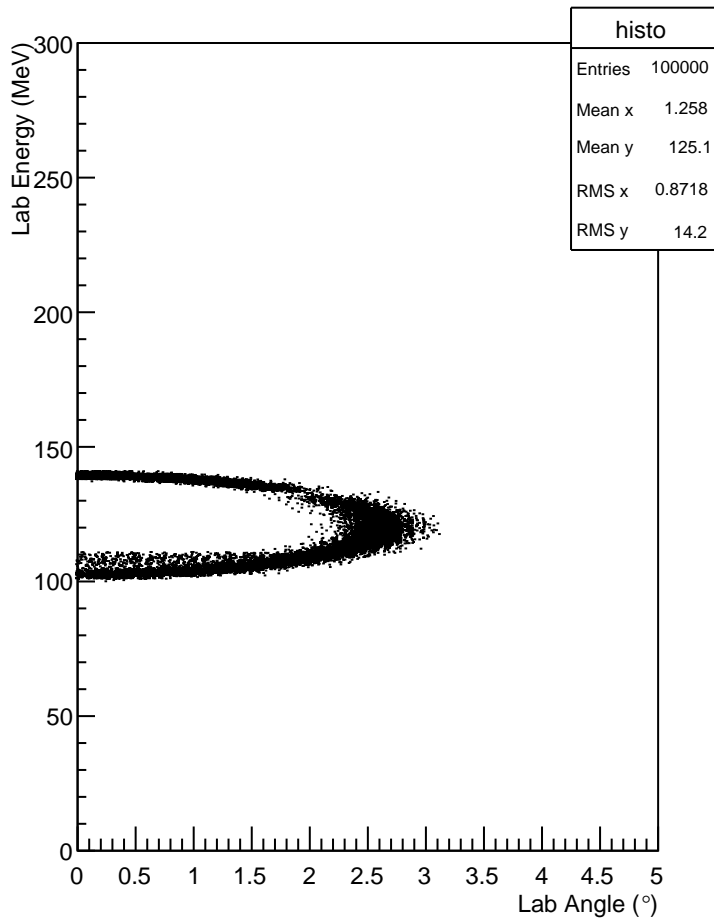
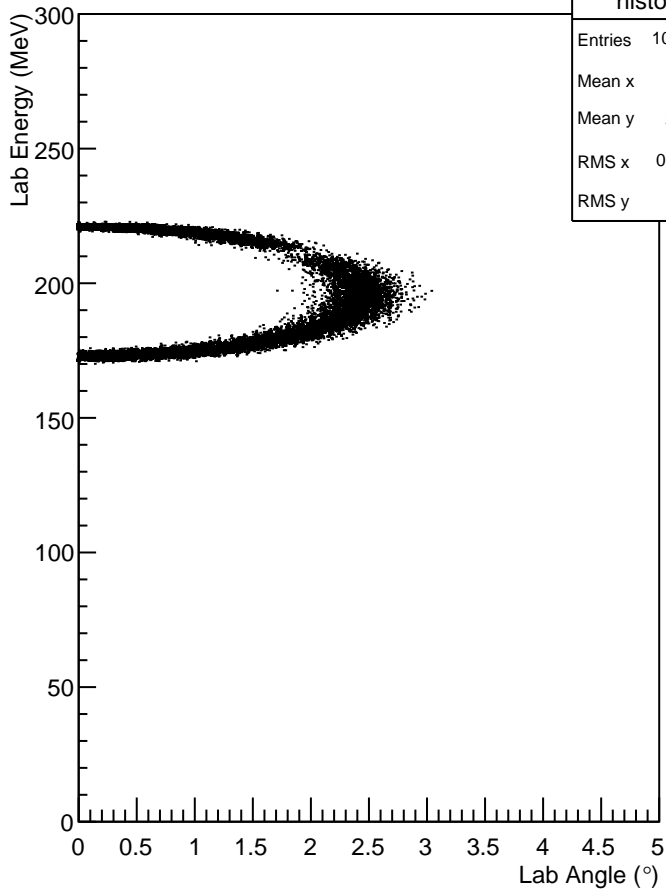


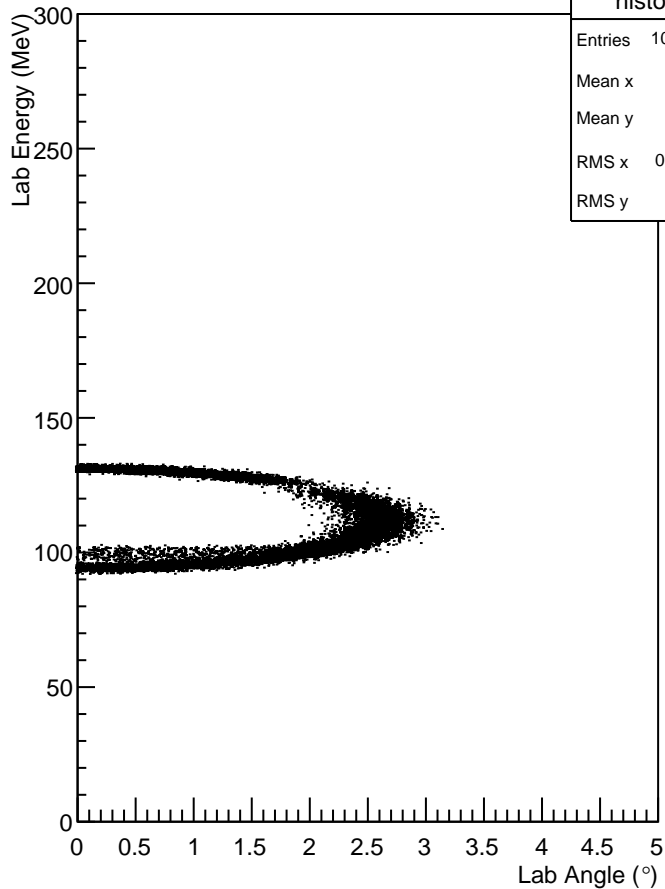
$E_b=295$ MeV, no degrader $E_b=212$ MeV, no degrader

$E_b=295$ MeV, 5 μm Al $E_b=212$ MeV, 5 μm Al

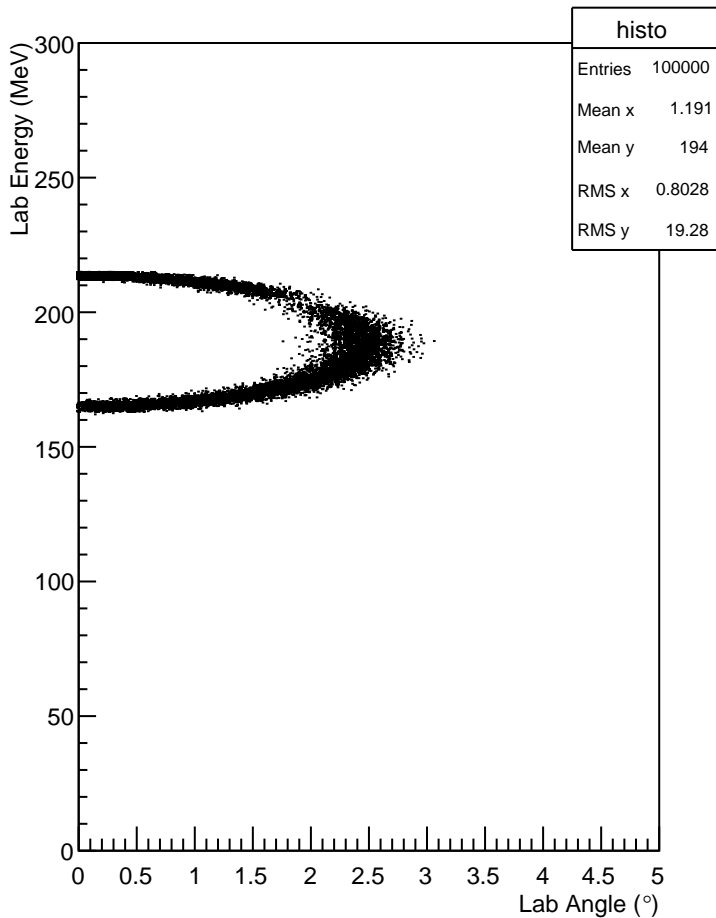
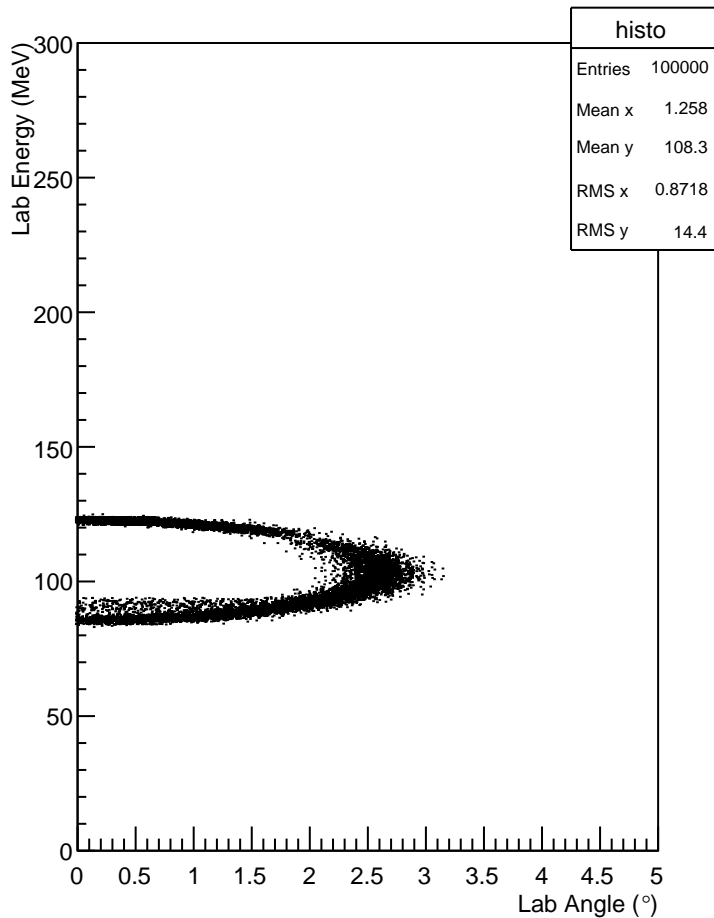
$E_b=295$ MeV, 6 μm Al $E_b=212$ MeV, 6 μm Al

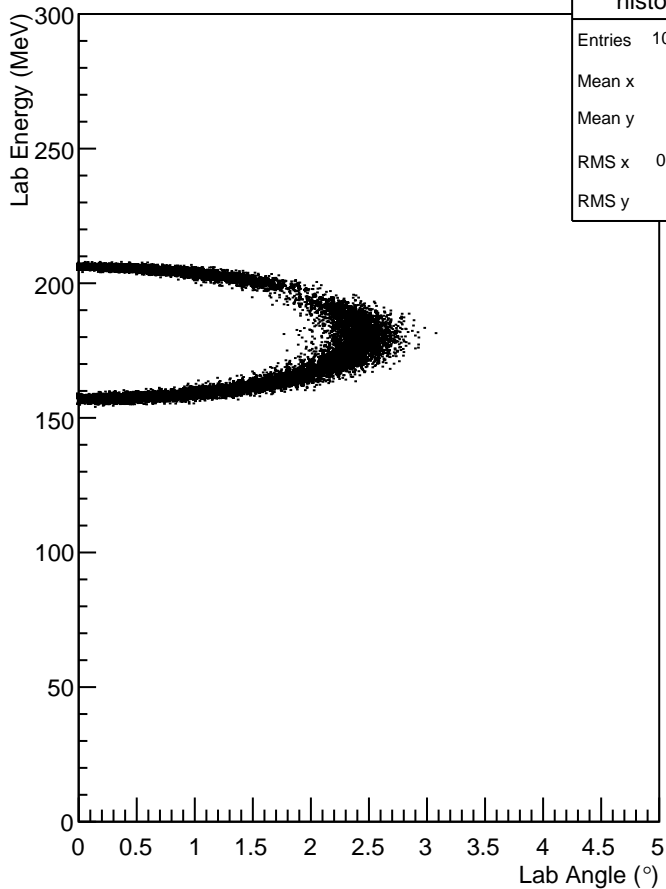
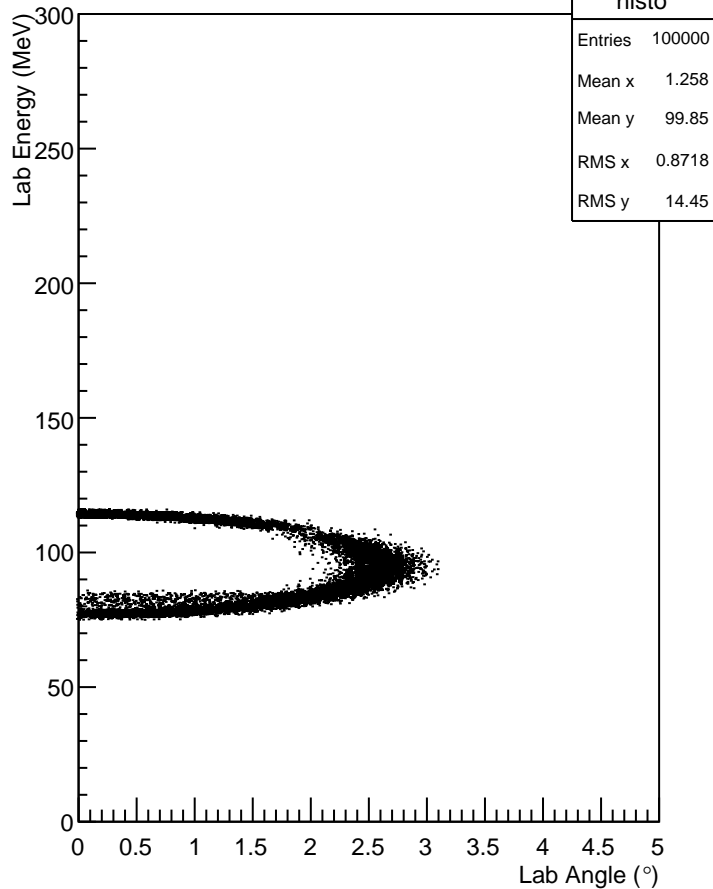
$E_b=295$ MeV, 7 μm Al

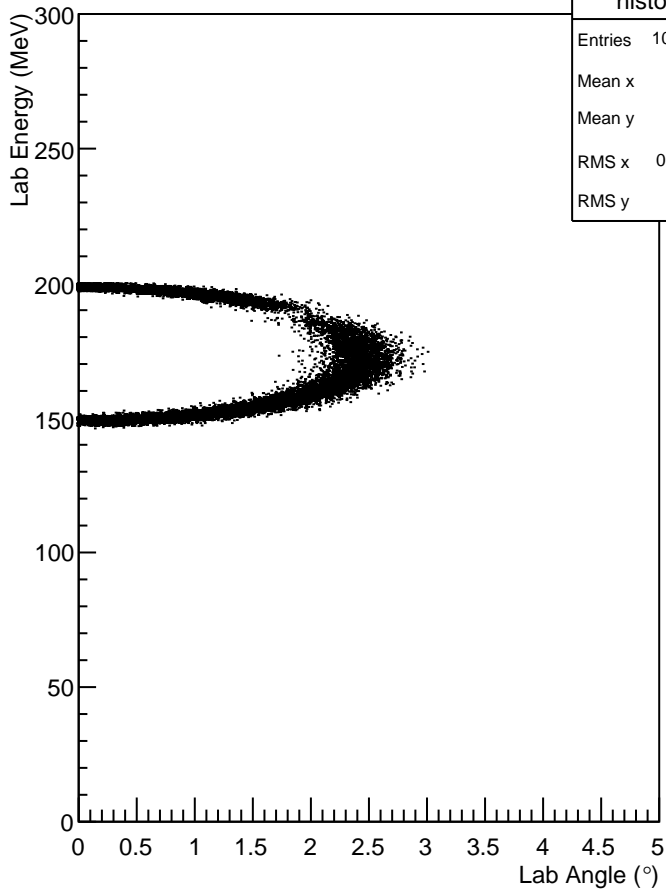
histo	
Entries	100000
Mean x	1.191
Mean y	201.7
RMS x	0.8028
RMS y	19.09

 $E_b=212$ MeV, 7 μm Al

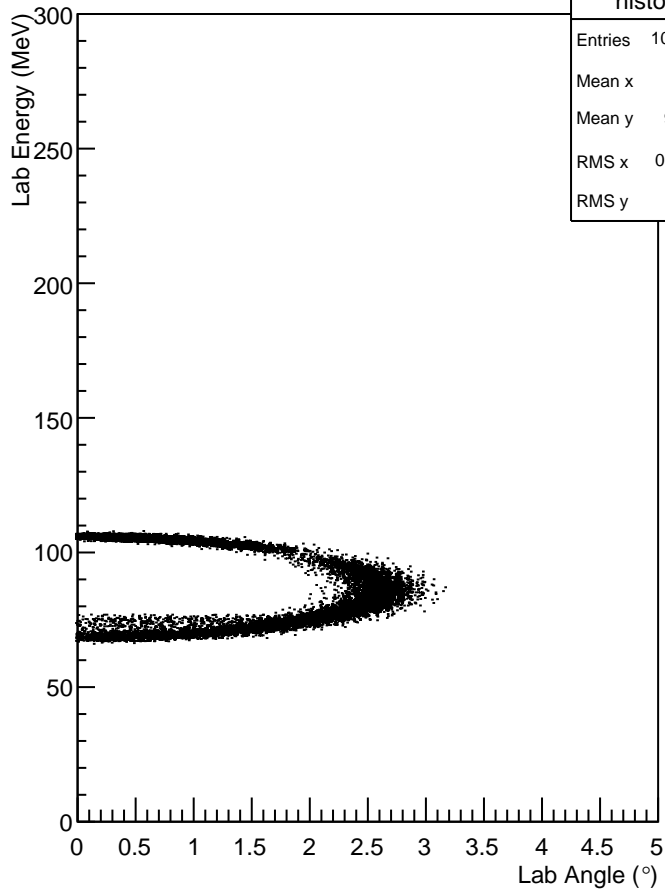
histo	
Entries	100000
Mean x	1.258
Mean y	116.8
RMS x	0.8718
RMS y	14.31

$E_b=295$ MeV, 8 μm Al $E_b=212$ MeV, 8 μm Al

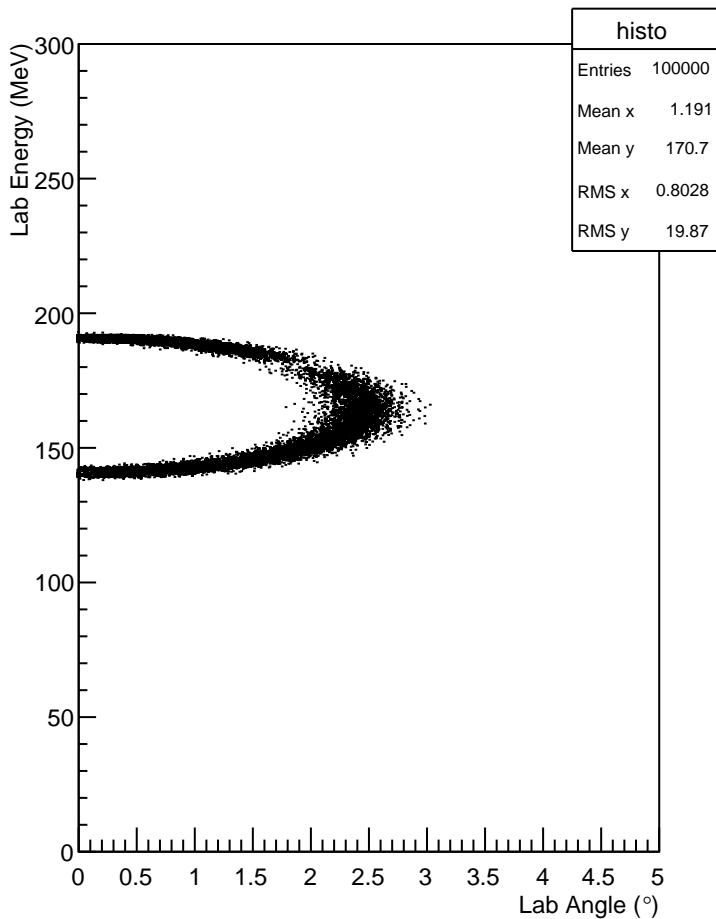
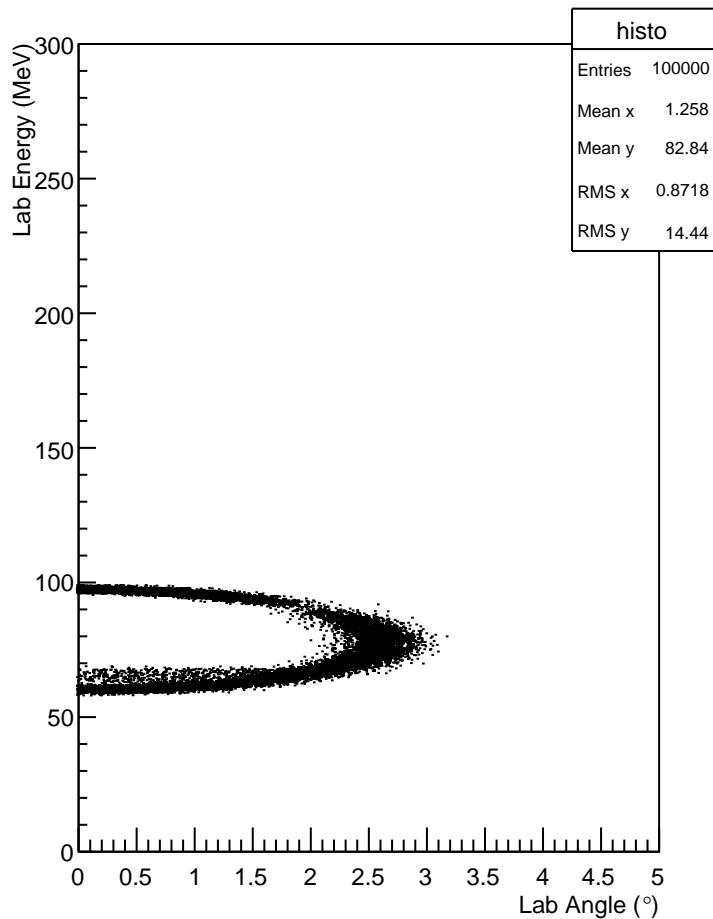
$E_b=295$ MeV, 9 μm Al $E_b=212$ MeV, 9 μm Al

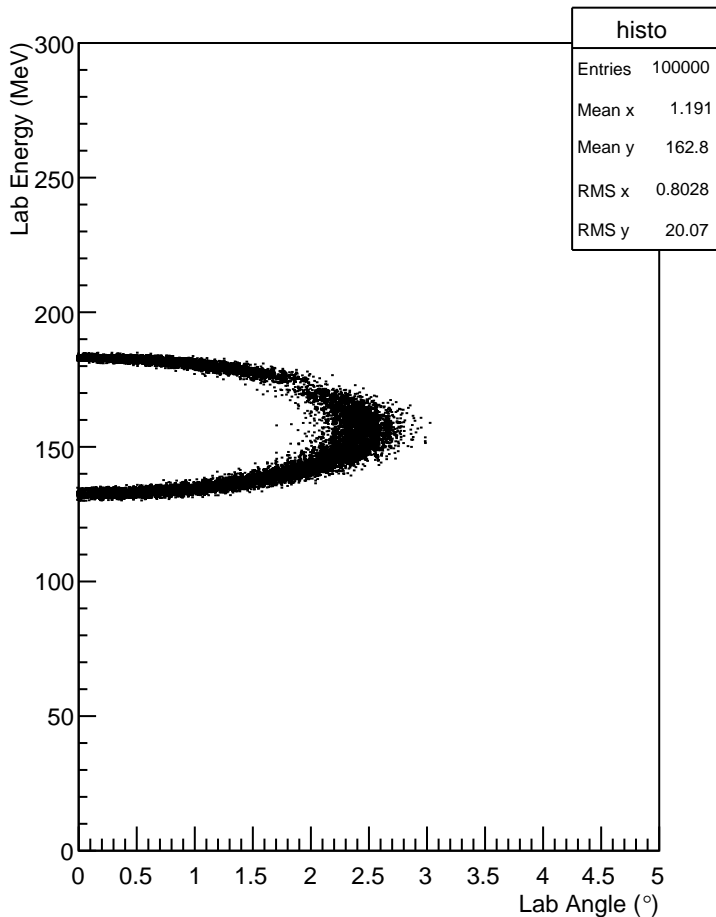
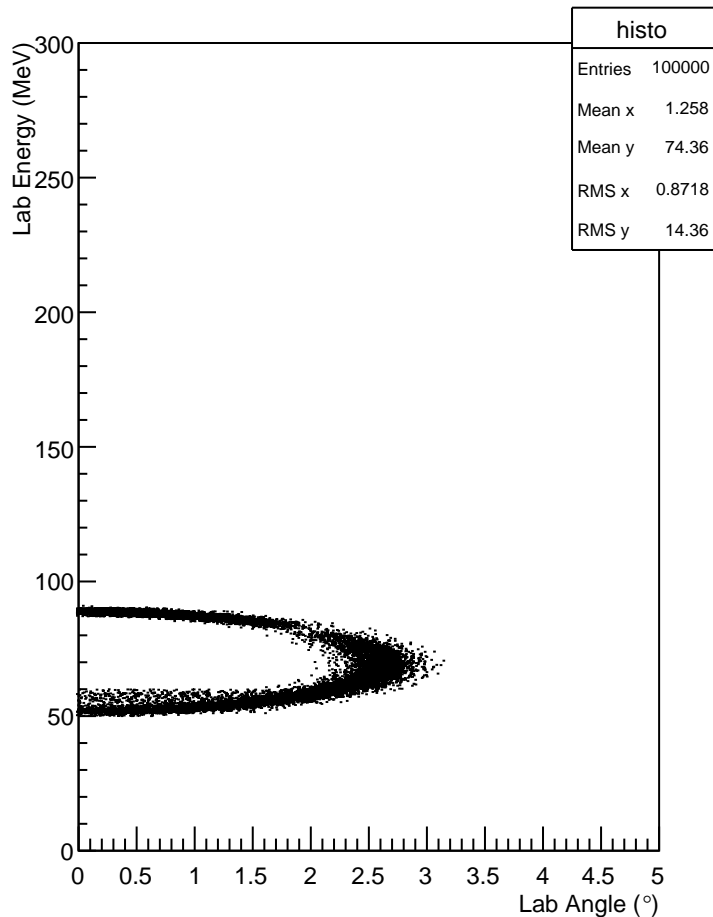
$E_b=295$ MeV, 10 μ m Al

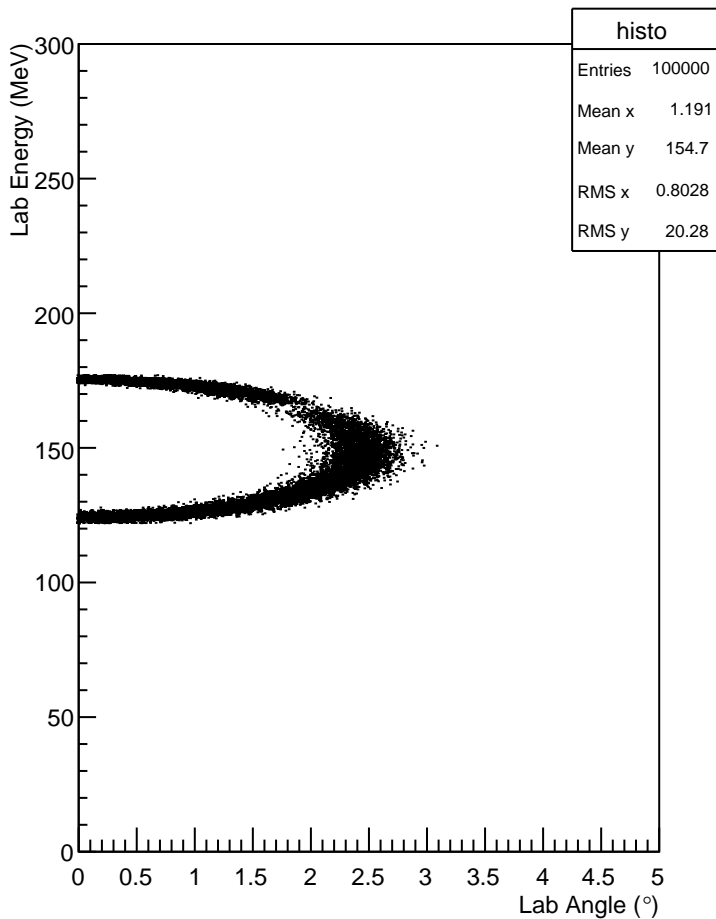
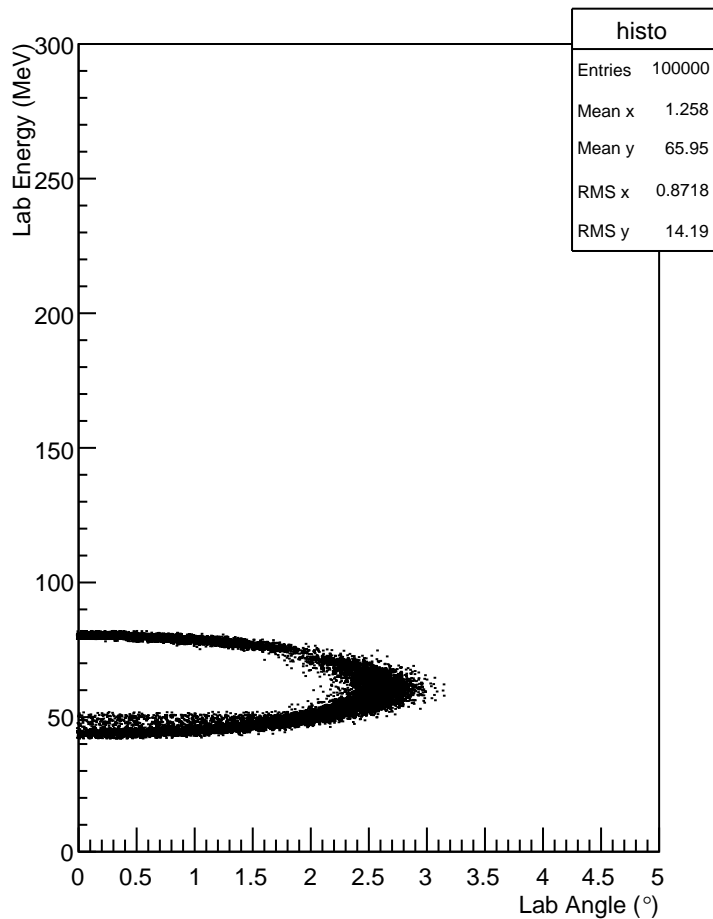
histo	
Entries	100000
Mean x	1.191
Mean y	178.6
RMS x	0.8028
RMS y	19.67

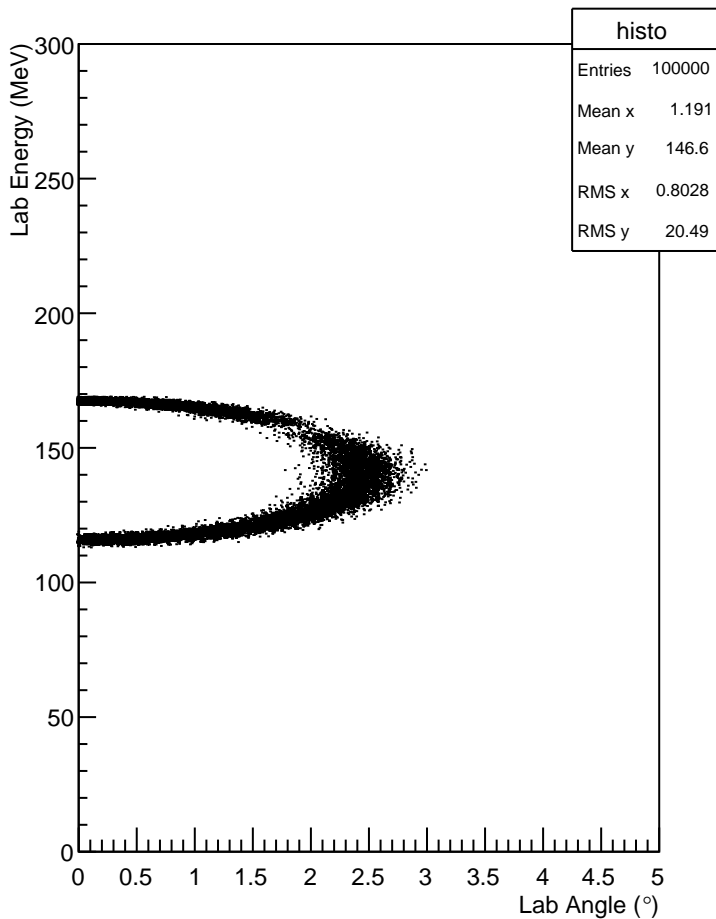
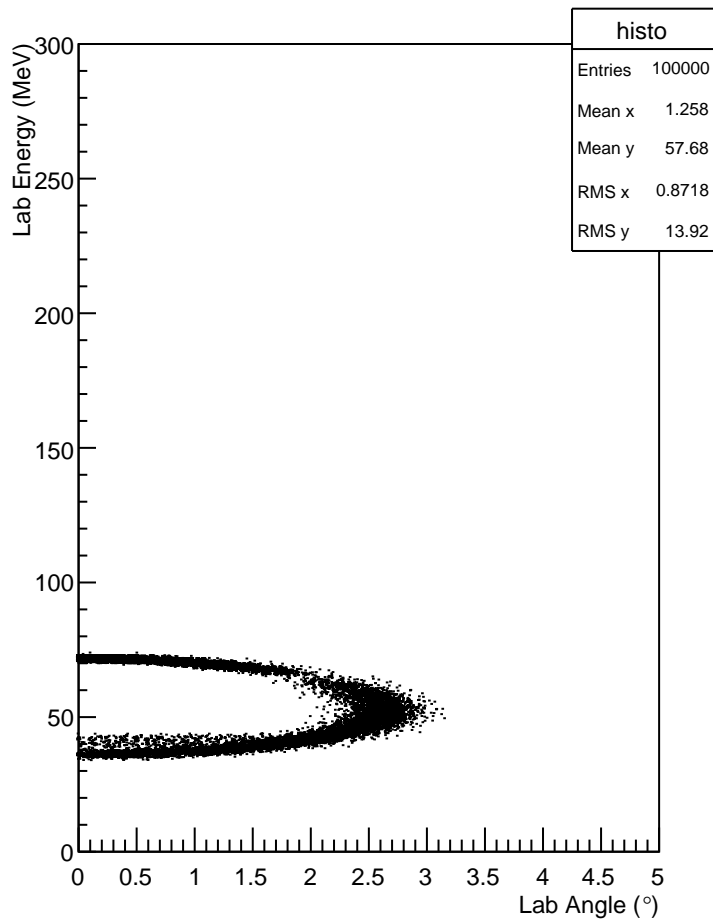
 $E_b=212$ MeV, 10 μ m Al

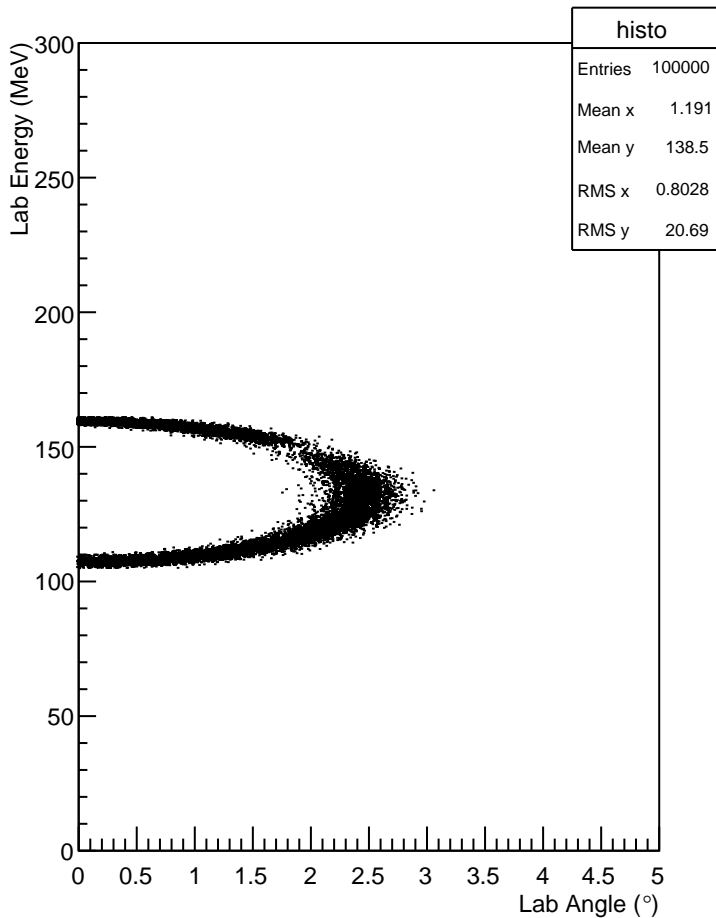
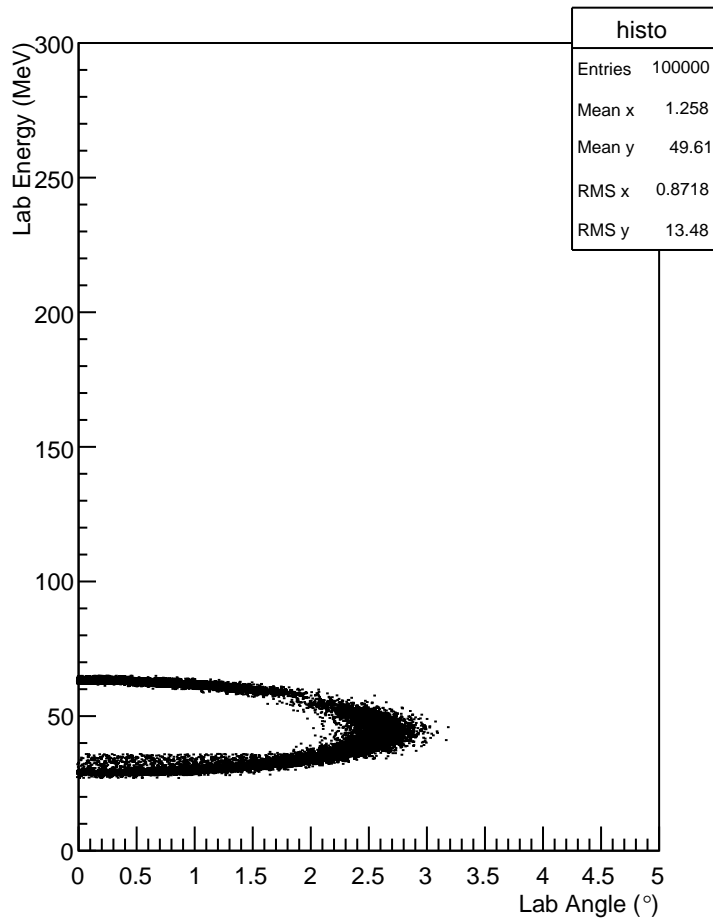
histo	
Entries	100000
Mean x	1.258
Mean y	91.34
RMS x	0.8718
RMS y	14.47

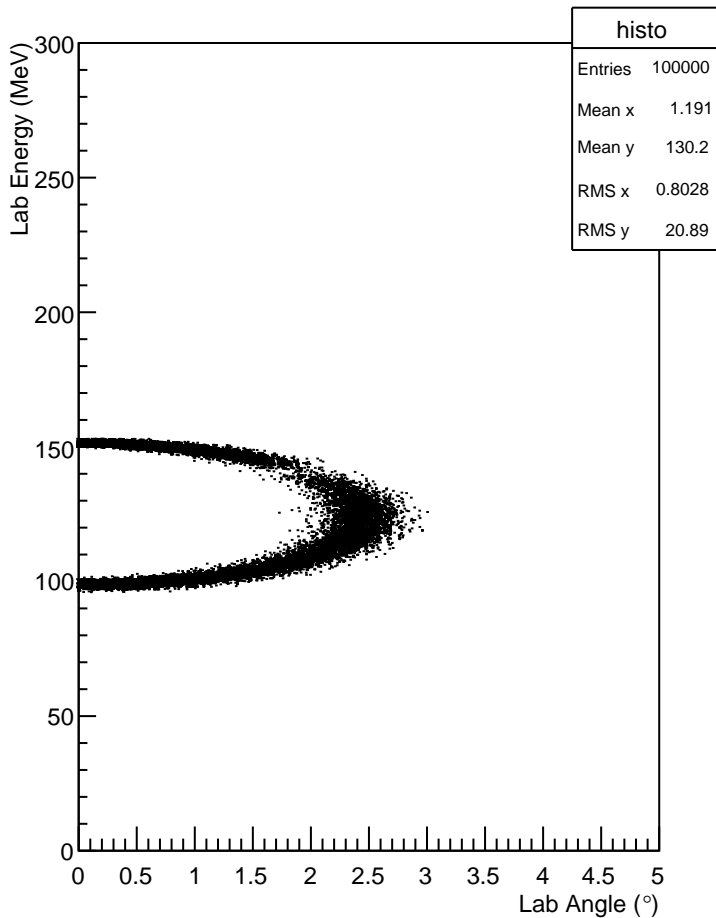
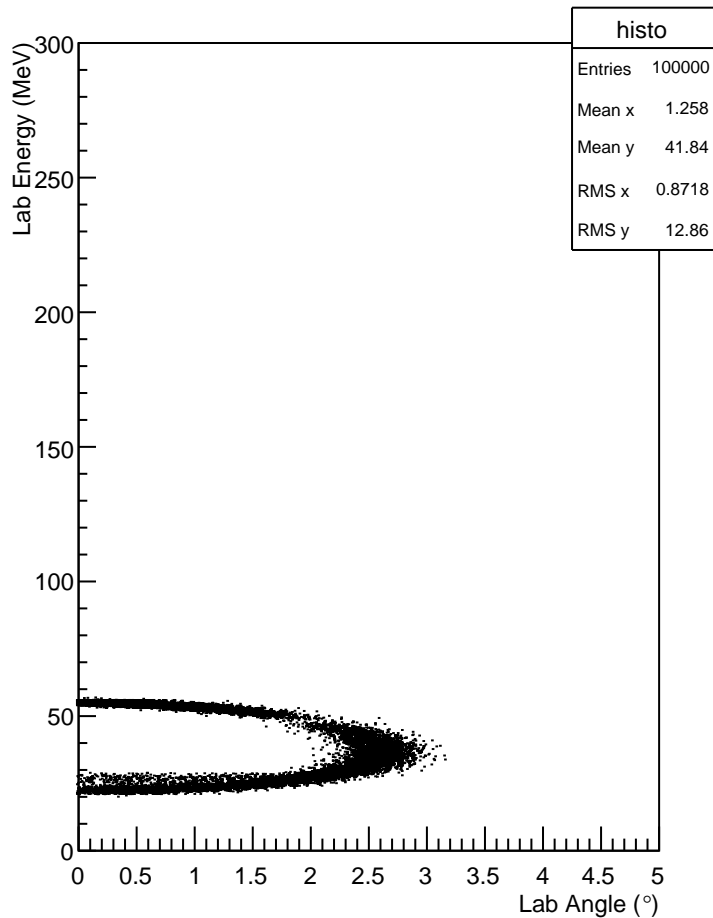
$E_b=295$ MeV, 11 μm Al $E_b=212$ MeV, 11 μm Al

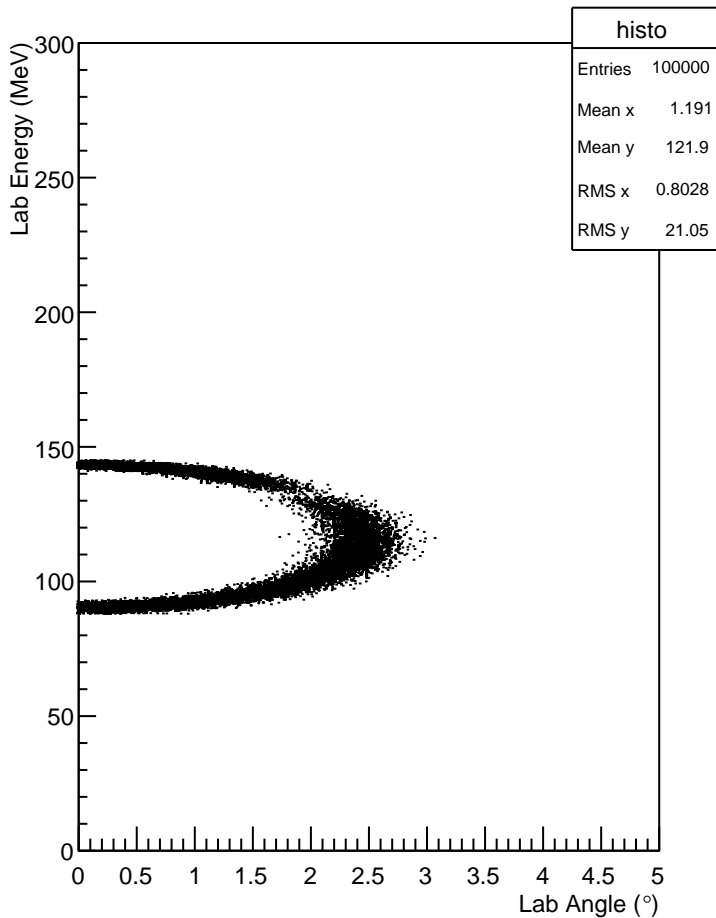
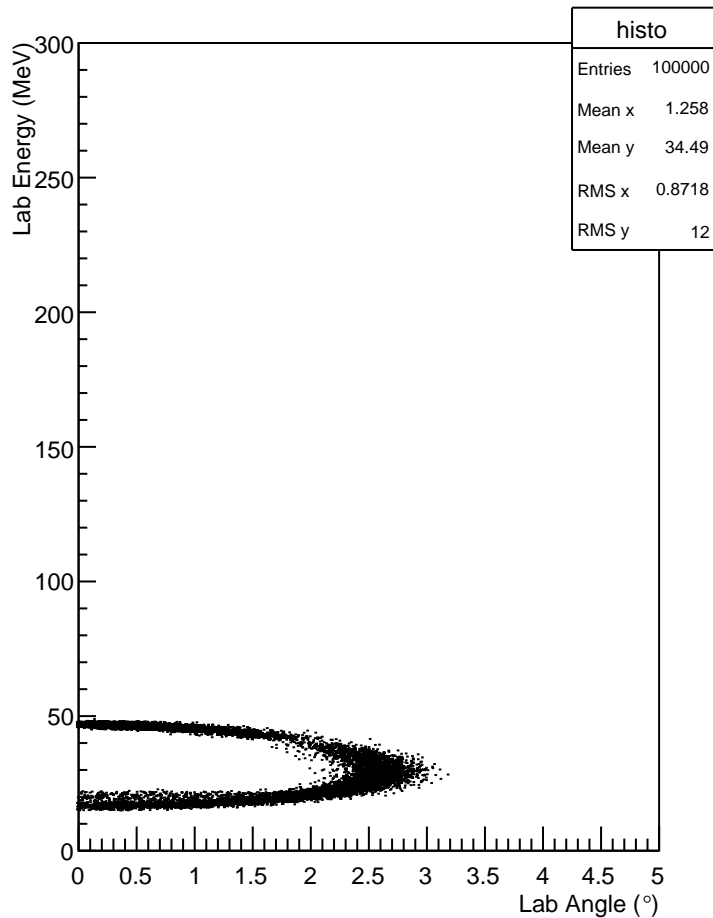
$E_b=295$ MeV, 12 μ m Al $E_b=212$ MeV, 12 μ m Al

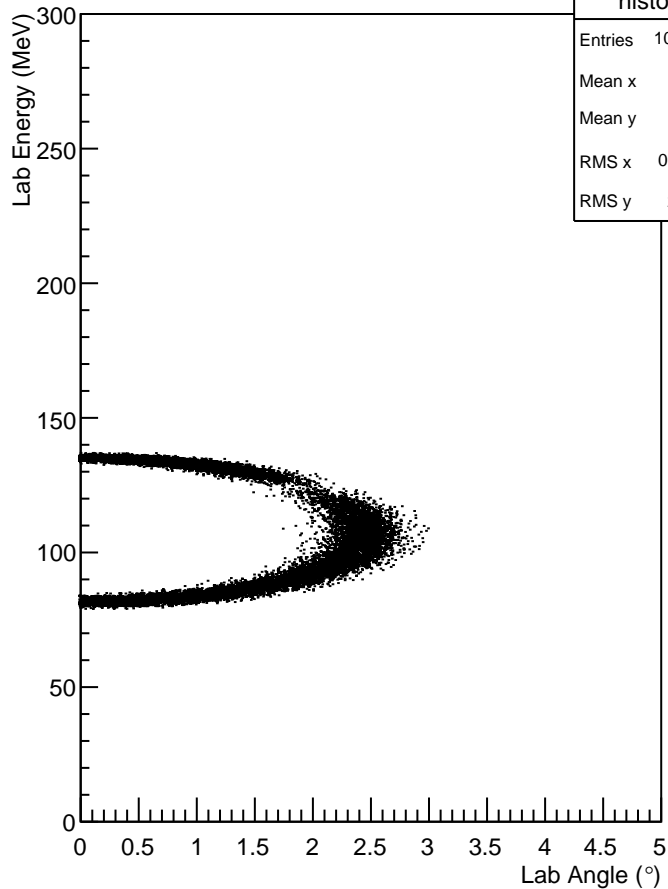
$E_b=295$ MeV, 13 μ m Al $E_b=212$ MeV, 13 μ m Al

$E_b=295$ MeV, 14 μm Al $E_b=212$ MeV, 14 μm Al

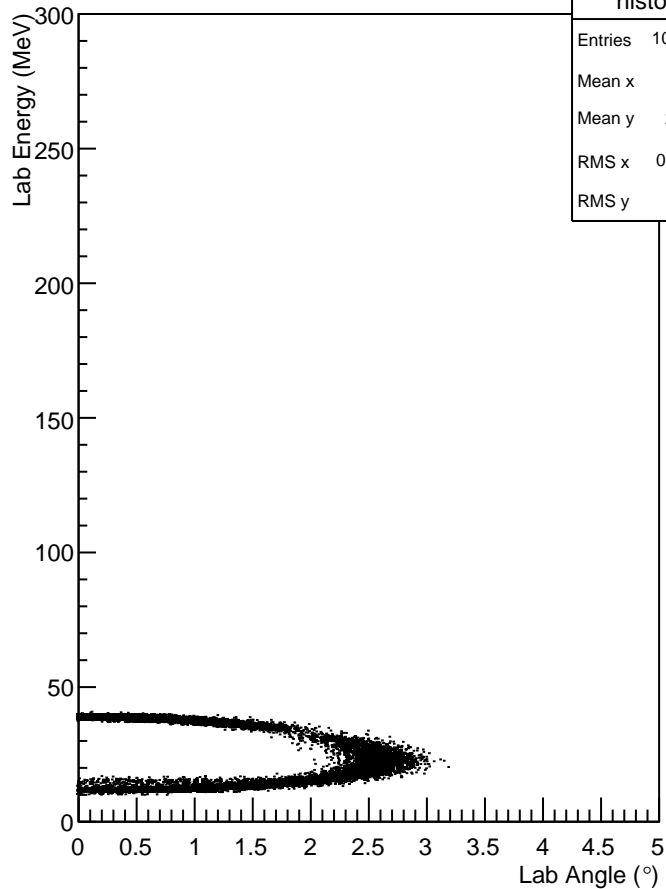
$E_b=295$ MeV, 15 μ m Al $E_b=212$ MeV, 15 μ m Al

$E_b=295$ MeV, 16 μ m Al $E_b=212$ MeV, 16 μ m Al

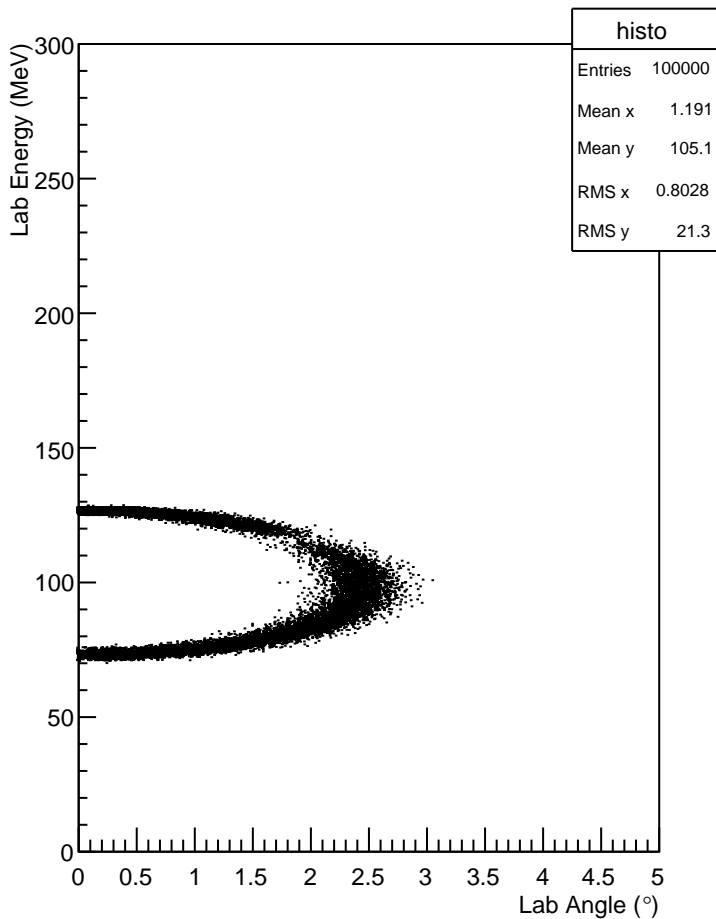
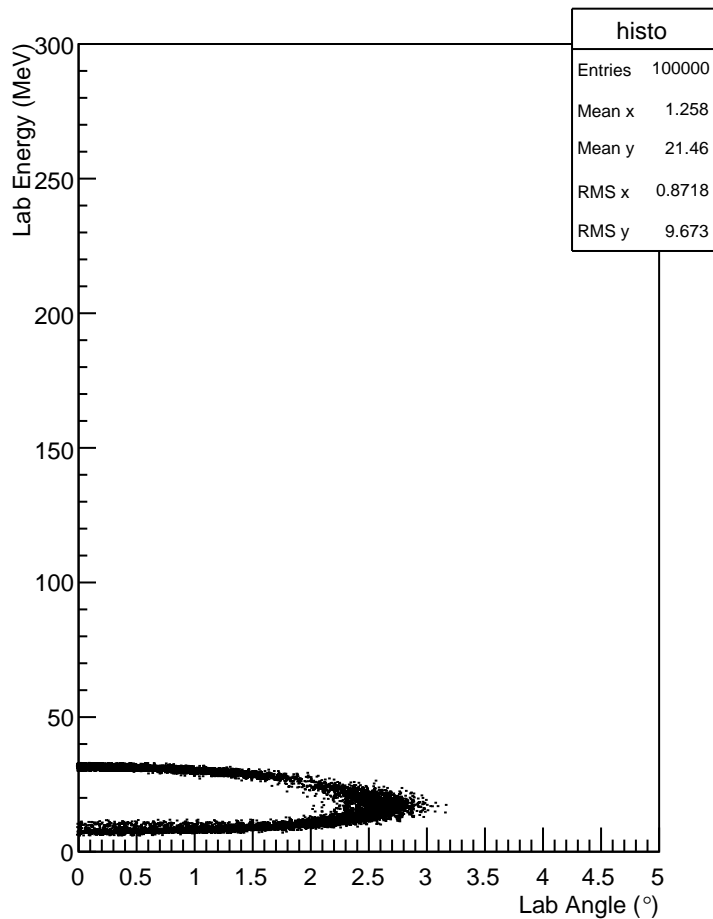
$E_b=295$ MeV, 17 μm Al $E_b=212$ MeV, 17 μm Al

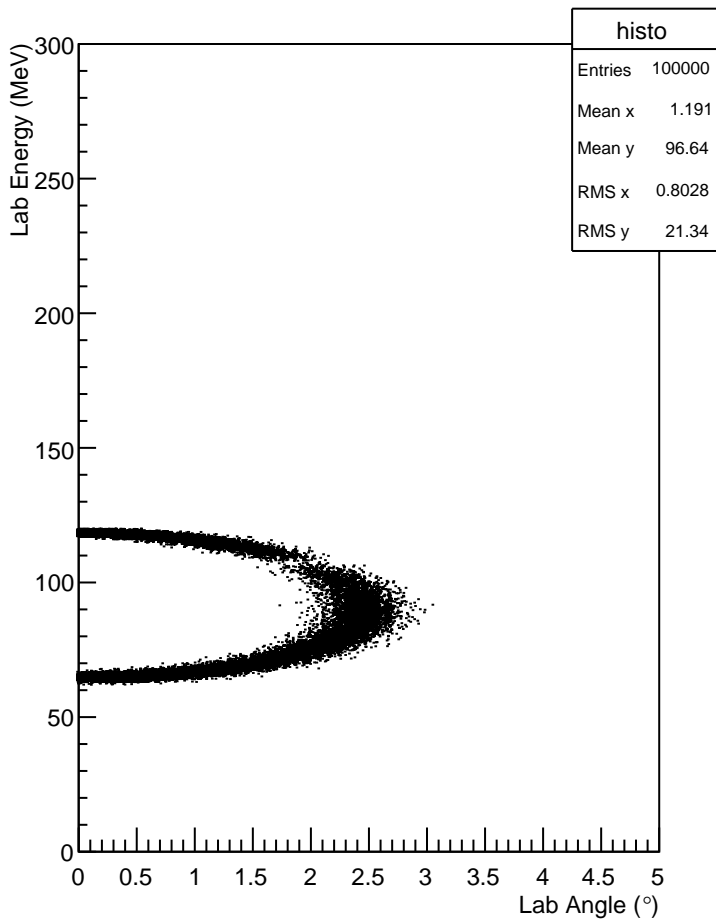
$E_b=295$ MeV, 18 μ m Al

histo	
Entries	100000
Mean x	1.191
Mean y	113.5
RMS x	0.8028
RMS y	21.19

 $E_b=212$ MeV, 18 μ m Al

histo	
Entries	100000
Mean x	1.258
Mean y	27.66
RMS x	0.8718
RMS y	10.91

$E_b=295$ MeV, 19 μm Al $E_b=212$ MeV, 19 μm Al

$E_b=295$ MeV, 20 μm Al $E_b=212$ MeV, 20 μm Al